

существования особого управления. Следовательно, особое управление является оптимальным.

Л и т е р а т у р а

Г. К р о т о в В.Ф., Б у к р е е в В.З., Г у р м а н В.И. Новые методы вариационного исчисления в динамике полета. М., "Машиностроение", 1969.

В.М. ВУЛАТОВ

МОДЕЛИРОВАНИЕ СОУДАРЕНИЯ ЖИДКИХ ПАР

Одним из вопросов, который необходимо решать при исследовании процесса взаимодействия капли с жидкой полубесконечной мишенью, является вопрос о возможности физического моделирования соударения жидких пар.

Уравнения движения и неразрывности жидкости при соударении сферической капли с жидкой полубесконечной мишенью имеет вид [1]:

$$\frac{\partial \bar{v}_{i\alpha}}{\partial \tau} + (\bar{v}_{i\alpha} \text{grad}) \bar{v}_{i\alpha} = - \frac{1}{\rho_{i\alpha}} \text{grad}(\rho_{i\alpha} + \rho_{i\alpha} g z_{i\alpha}); \quad \text{div } \bar{v}_{i\alpha} = 0,$$

где $i = 1, 2$ - индекс, присваиваемый соответственно капле или мишени; $v_{i\alpha}$ - скорость; $\rho_{i\alpha}$ - плотность; $P_{i\alpha}$ - давление; $z_{i\alpha}$ - вертикальная координата; g - ускорение свободного падения; τ - время. Аналогичная система уравнений запишется для соударяющихся жидких пар моделируемого процесса.

Приведем дифференциальные уравнения, начальные и граничные условия к безразмерному виду с помощью следующих масштабных преобразований: V_0 - скорость соударения, d - диаметр капли, τ_0 - время образования кратера, $\rho_2 g d$ - характерное давление (прописными буквами обозначим соответствующие безразмерные масштабы).

Уравнение неразрывности в безразмерной форме не дает дополнительных условий подобия, поэтому в дальнейшем оно не рассматривается.

Уравнения движения при соударении жидкой пары в безразмерной форме примут вид:

внутри капли

$$\frac{d}{V_0 \tau_0} \frac{\partial \bar{V}_{i\alpha}}{\partial \tau} + (\bar{V}_{i\alpha} \text{grad}) \bar{V}_{i\alpha} = - \frac{\rho_{i2} g d_1}{\rho_{i1} V_0^2} \text{grad} \left(\rho_{i1} + \frac{\rho_{i1}}{\rho_{i2}} z_{i1} \right); \quad (I)$$

в полубесконечной мишени

$$\frac{u}{V_0 r_0} \frac{dV_{12}}{dT} + (V_{12} \text{ grad}) \bar{V}_{12} = - \frac{u d_1}{V_0^2} \text{grad} (P_{12} + Z_{12}). \quad (2)$$

Начальные и граничные условия в безразмерном виде будут следующими:

1. На свободной поверхности взаимодействующих пар в точке контакта при $T=0$

а) начальное кинематическое условие

$$\bar{V}_{12} = 1; \quad (3)$$

б) начальное динамическое условие постоянства давления

$$P_{11} = P_{12} = P_{10}. \quad (4)$$

В момент касания $\tau = 0$, учитывая условие (4), из уравнения Лагранжа

$$\frac{d\varphi}{d\tau} + \frac{v_i^2}{2} + \frac{P_i}{\rho_i} - \mathcal{U}_i = \text{const}, \quad (5)$$

где φ - потенциал скорости неустановившегося движения; \mathcal{U} - потенциал объемных сил, определяется соответственно начальное давление для капли

$$\frac{P_{10}}{\rho_{11}} = \frac{V_{10}^2}{2} \quad (6)$$

и полубесконечного пространства

$$\frac{P_{12}}{\rho_{12}} = \frac{V_{10}^2}{2}. \quad (7)$$

Из (6) и (7) получаем следующие выражения начального давления в точке контакта для соударяющейся пары

$$P_{10} = \frac{V_{10}^2}{2d_1} \frac{\rho_{11}}{(\rho_{11} + \rho_{12})}. \quad (8)$$

2. На свободной поверхности раздела жидкости с атмосферой

$$P_{11} = P_{12} = 0. \quad (9)$$

3. На границе раздела двух сред должно выполняться:

а) кинематическое условие - равенство безразмерных скоростей для точек среды, находящихся на границе раздела двух сред

$$\bar{V}_{11} = \bar{V}_{12}. \quad (10)$$

б) динамическое условие - равенство безразмерных давлений на границе раздела двух сред

$$(P_{11} + \frac{\rho_{11}}{\rho_{12}} Z_{11}) = (P_{12} + Z_{12}). \quad (11)$$

4. На бесконечности мипени скорости движения частиц равны нулю

$$\bar{V}_{12} = 0. \quad (12)$$

Система дифференциальных уравнений (1), (2) совместно с начальными и граничными условиями (3) - (12) однозначно описывает изучаемое явление.

Из уравнений (11) и (12) видно, что для того, чтобы законы движения частиц при соударении жидких пар по схеме идеальной несжимаемой жидкости в геометрически подобных системах были подобны, необ-

ходимо и достаточно осуществить следующие условия:

$$\frac{\rho_{11}}{\rho_{12}} = \frac{\rho_{21}}{\rho_{22}}, \quad r_2 = \frac{V_{10}^2}{gd_1} = \frac{V_{20}^2}{gd_2}, \quad Sh = \frac{V_{10} \tau_{10}}{d_1} = \frac{V_{20} \tau_{20}}{d_2} \quad (13)$$

Условия (13) являются определяющими критериями процесса соударения жидких пар.

Условия, аналогичные (13), получены при моделировании кавитационной полости, образующейся при вхождении твердого тела в жидкую среду [2].

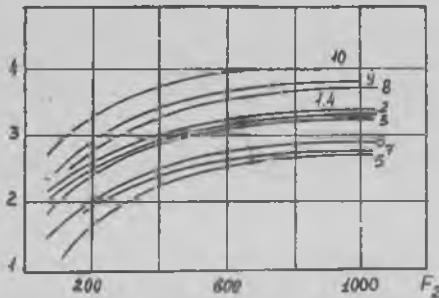


Рис. 1. Зависимость безразмерной глубины кратера в полубесконечных мишенях от критерия F_2 для жидких соударяющихся пар: отношение плотностей $\frac{\rho_1}{\rho_2} = 1,0$:
 1 - "вода-вода", 2 - раствор сахара №9 - раствор сахара №9", 3 - "раствор $CaCl_2$ - раствор сахара №9", 4 - "раствор сахара №9 - раствор $CaCl_2$ ", 5 - "глицерин - глицерин";
 отношение плотностей $\frac{\rho_1}{\rho_2} = 0,79$:
 6 - "раствор $CaCl_2$ - четыреххлористый углерод", 7 - "раствор сахара №9 - четыреххлористый углерод";
 отношение плотностей $\frac{\rho_1}{\rho_2} = 1,26$:
 8 - "раствор $CaCl_2$ - вода", 9 - раствор сахара №1 - вода", 10 - "глицерин - вода"

Выводы о возможности моделирования процесса соударения жидких пар подтверждаются результатами соответствующих экспериментов. На рис. 1 представлены графики безразмерной глубины кратера в жидких полубесконечных мишенях в зависимости от критерия Фруда при различных физических свойствах жидких соударяющихся пар (табл.).

Для определения границ применения схемы идеальной жидкости были проведены эксперименты по соударению жидких пар с различной вязкостью. При сравнении результа-

тов соударения жидких пар при одинаковых $\frac{\rho_1}{\rho_2} = const, \frac{V_0^2}{gd} = const$ и различной вязкости капли и мишени видно, что различие порядка 10% появляется в глубине кратера при вязкости жидкости в 5-7 раз большей, чем вязкость воды. Если этот интервал отклонений взять за допустимый при экспериментах, то на основании полученных опытов можно сделать вывод, что вязкость соударяющихся пар начинает сказываться на гесма-

при кратера, когда отношение чисел Рейнольдса для капли воды и рассматриваемой вязкой жидкости удовлетворяет неравенству:

$$\frac{Re}{Re_n} \leq 7; \quad \frac{Re}{Re_n} \leq 7,$$

где $Re_n = \frac{\rho_1 V_0 d}{\mu_1}$ - число Рейнольдса для капли; $Re_n = \frac{\rho_2 V_0 d}{\mu_2}$ - число Рейнольдса для мишенки; Re - соответствующее число Рейнольдса для воды.

При очень большой разнице в вязкости соударяемых пар при определенной скорости соударения возможны формы кратера отличные от обычной [3].

Т а б л и ц а

Физические свойства исследуемых жидкостей

Наименование жидкости	Плотность капли $\rho; 10^3 \text{ кг/м}^3$	Динамическая вязкость $\mu \cdot 10^{-3} \frac{\text{нсек}}{\text{м}^2}$	Диаметр капли $d \cdot 10^{-3} \text{ м}$
Вода	1,0	1,05	5,11
Глицерин ГОСТ 6259-52	1,246	328	4,7
Четыреххлористый углерод	1,59	0,969	3,54
Раствор соли BaCl_2 в воде	1,262	1,51	5,04
Раствор сахара в воде № I	1,34	322	4,72
Раствор сахара в воде № 9	1,26	7,14	4,91

Для определения радиуса кратера в зависимости от времени воспользуемся уравнением сохранения энергии в консервативной системе "капля-мишень" [4]. Форма кратера принимается полусферической

$$T_1 + T_2 + U = \frac{m V_0^2}{2}, \quad (14)$$

где $T_1 = \frac{m}{2} \left(\frac{dR}{dt} \right)^2$ - кинетическая энергия капли, масса которой не меняется в процессе образования кратера; $T_2 = \pi \rho_2 R^3 \left(\frac{dR}{dt} \right)^2$ - кинети-

ческая энергия жидкости мишени [5], [6]; $U = \frac{\pi}{4} \rho_2 g R^4$ - потенциальная энергия кратера, равная работе сил гидростатического давления, совершаемой при его образовании.

Для начальной стадии движения в уравнении (14) можно пренебречь значением массы капли и потенциальной энергией гидростатического давления жидкости мишени по сравнению с массой жидкости, вытесненной из кратера, и ее начальной кинетической энергией, т.е. $T_2 \gg T_1$; $T_2 \gg U$ или

$$\pi \rho_2 R^3 \gg \frac{m}{2}; \left(\frac{dR}{d\tau}\right)^2 \gg gR.$$

Тогда уравнение (21) примет вид

$$\pi \rho_2 R^3 \left(\frac{dR}{d\tau}\right)^2 = \frac{1}{2} m V_0^2.$$

Интегрируя и используя начальные условия $\tau=0, R = \frac{d}{2}$, имеем

$$R = \left[0,72 \sqrt{\frac{\rho_1}{\rho_2}} d^3 V_0^2 \tau + \left(\frac{d}{2}\right)^{3/2}\right]^{2/3} \text{ или } \frac{R}{d} = \left[0,72 \sqrt{\frac{\rho_1}{\rho_2}} Sh + 0,18\right]^{2/3} \quad (15)$$

Дифференцируя последовательно уравнение (15), получаем зависимости скорости и ускорения поверхности кратера от времени

$$V = \frac{dR}{d\tau} = 0,3 \sqrt{\frac{\rho_1}{\rho_2}} \left[0,72 \sqrt{\frac{\rho_1}{\rho_2}} d^3 V_0^2 \tau + \left(\frac{d}{2}\right)^{3/2}\right]^{-1/3} \text{ или } \frac{V}{V_0} = 0,82 \sqrt{\frac{\rho_1}{\rho_2}} (4,08 \sqrt{\frac{\rho_1}{\rho_2}} Sh + 1)^{-1/3}$$

$$W = \frac{d^2 R}{d\tau^2} = -\frac{1}{8} \frac{\rho_1}{\rho_2} d^3 V_0^2 \left[0,72 \sqrt{\frac{\rho_1}{\rho_2}} d^3 V_0^2 \tau + \left(\frac{d}{2}\right)^{3/2}\right]^{-4/3} \text{ или } \frac{Wd}{2V_0^2} = -\frac{\rho_1}{\rho_2} (4,1 \sqrt{\frac{\rho_1}{\rho_2}} Sh + 1)^{-4/3}.$$

В момент максимального расширения кратера скорость движения его поверхности обращается в нуль. В этом случае из уравнения (14) можно получить конечную величину максимального радиуса

$$R_k = 0,76 \sqrt[4]{\frac{\rho_1}{\rho_2}} d^3 \frac{V_0}{g} \quad \text{или} \quad \frac{R_k}{d} = 0,76 \sqrt[4]{\frac{\rho_1}{\rho_2}} F_2^{3/4} \quad (16)$$

Для определения времени образования кратера подставим в уравнение (15) конечную глубину кратера (16)

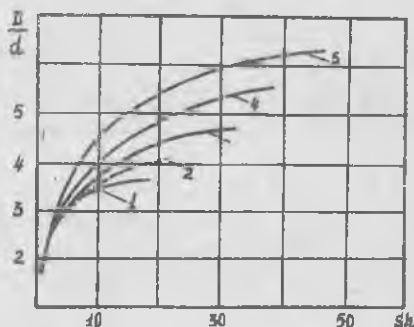
$$\tau_0 = 0,7 \sqrt[3]{\frac{\rho_1}{\rho_2}} \frac{d^3 V_0^2}{g^3} - 0,25 \sqrt{\frac{\rho_2}{\rho_1}} \frac{d}{V_0}$$

$$\text{или} \quad Sh = \frac{V_0 \tau_0}{d} = 0,7 \sqrt[3]{\frac{\rho_1}{\rho_2}} F_2^{3/4} - 0,25 \sqrt{\frac{\rho_2}{\rho_1}}.$$

На рис.2 приведена зависимость безразмерного диаметра кратера от числа Струхала при соударении жидкой пары "вода-вода". Сравнение аналитической временной зависимости (15) (пунктирная кривая) указывает на хорошее совпадение с соответствующими данными опытов на первой стадии кратерообразования, когда еще не оказываются силы тяжести.

Рис. 2. Зависимость безразмерного диаметра кратера в полубесконечной мишени при соударении жидкой пары "вода - вода" от числа Стружалея $Sh = \frac{V_0 \tau}{d}$ при различных значениях критерия Фруда $Fr = \frac{V_0^2}{gd}$:

1, 2 - $Fr = 78$; 3 - $Fr = 221$;
4 - $Fr = 284$; 5 - $Fr = 494$



Л и т е р а т у р а

1. Фортъе А. Механика суспензий. М., "Мир", 1971.
2. Валединский Р.А., Якимов В.Д. Кавитационные процессы при вертикальном входе тел в воду и их моделирование. -Сб.: Избранные проблемы прикладной механики. М., АН СССР, 1974.
3. Булатов В.М. Экспериментальное исследование соударения жидких пар. -Сб.: Проектирование оптимальных конструкций. Труды КуАИ, вып. 54, 1971.
4. Булатов В.М. Частные постановки задачи о соударении капли с жидкой полубесконечной мишенью. -Сб.: Стабилизация технических систем с запаздыванием по времени. Труды КуАИ, вып. 2, 1975.
5. Коул Р. Подводные взрывы. М., "И.-Д.", 1950.
6. Легвинovich Г.В. Гидродинамика течений со свободными границами. Киев, "Наукова думка", 1969.

Л.И. ФЕДОСОВА

ЭКСПЕРИМЕНТАЛЬНЫЕ ИССЛЕДОВАНИЯ ВИХРЕЙ В U- ОБРАЗНЫХ ТРУБАХ

Образование вихрей у свободной поверхности жидкости при свободном ее колебании в U-образных трубах описано в работах [1] - [5], в которых отмечено, что вихри возникают при кинематическом числе